

Рис. 7. Пространственное распределение зарядов и профиль функции

В данной работе описан аналитический способ расчета распределения зарядов плоских круговых дисков и дисков в виде сферических сегментов, расположенных во внешнем электростатическом поле. Получены две группы взаимно сопряженных

полиномов, позволяющих сводить интегральное уравнение обратного проецирования в алгебраическое уравнение. Распределение потенциалов на поверхности пластины представляется в виде разложения по одной группе полиномов, тогда как сопряженная группа представляет распределения зарядов на поверхности электродов с теми же коэффициентами разложения. С помощью полученных полиномов решаются как прямая, так и обратная задача уравнения обратного проецирования. Важным моментом данной работы является то, что полученные полиномы позволяют представлять прямое и обратное решение в аналитическом виде.

В качестве подтверждения правильности работы алгоритма приведены решения модельных задач восстановления зарядов по распределению потенциалов.

СПИСОК ЛИТЕРАТУРЫ

1. Тарновский А.С. Об определении понятий «потенциал» и «потенциальное поле» // Электричество. – 2000. – № 1. – С. 63–64.
2. Шишигин С.Л. Построение двумерной картины электростатического поля // Электричество. – 2004. – № 3. – С. 53–58.
3. Миролюбов Н.Н., Костенко М.В., Левинштейн М.Л., Тиходев Н.Н. Методы расчета электростатических полей. – М.: Высшая школа, 1963. – 415 с.
4. Исаев Ю.Н., Кулешова Е.О. Расчет распределения зарядов электрического поля на поверхности плоской системы электродов, помещенной во внешнее электростатическое поле // Энергетика: экология, надежность, безопасность: Матер. XII Всеросс. научно-техн. конф. – Томск: Изд-во ТПУ, 2006. – С. 69–72.
5. Тихонов А.Н., Арсенин В.Я., Тимонов А.А. Математические методы компьютерной томографии. – М.: Наука, 1985. – 160 с.
6. Тихонов А.Н., Арсенин В.Я. Методы решения некорректно поставленных задач. – М.: Наука, 1986. – 286 с.

Поступила 05.05.2008 г.

УДК 621.372.4:537.52

РАСЧЕТ РАСПРЕДЕЛЕНИЯ ЗАРЯДОВ ПЛАСТИН ПРИ НАЛИЧИИ ВНЕШНЕГО НЕСИММЕТРИЧНОГО ПОЛЯ

Е.О. Кулешова, Ю.Н. Исаев, О.В. Васильева, Д.А. Русол*

Томский политехнический университет

E-mail: kuleshova@elti.tpu.ru

*ОАО «НИПИ», г. Томск

Предлагается алгоритм расчета распределения зарядов по поверхности проводника неканонической формы при наличии произвольного внешнего поля. Алгоритм позволяет находить решение интегрального уравнения Фредгольма первого рода в виде разложения по собственным функциям интегрального оператора Фредгольма, что существенно упрощает решение сложной некорректной задачи. Алгоритм включает синтез собственного базиса физической системы с учетом того, что эта система может находиться лишь в состояниях, формируемых линейной комбинацией ее собственных функций. В этом случае уравнения, описывающие состояние системы, упрощаются, и от интегральных уравнений можно перейти к системе алгебраических уравнений.

Расчет распределения зарядов на поверхности плоскости при отсутствии симметрии требует привлечения методов, учитывающих кроме радиальной зависимости еще и угловую (азимутальную) зависимость. Одним из возможных методов решения двумерного интегрального уравнения Фредгольма является метод, позволяющий находить решение в виде разложения по собственным функциям интегрального оператора Фредгольма.

При воздействии внешнего поля возникает перераспределение зарядов, результирующее поле является суперпозицией полей создаваемого заря-

дами на поверхности электродов и внешним источником. Этот факт выражается в виде интегрального уравнения Фредгольма первого рода [1, 2].

$$-U^0(\mathbf{r}_0) + U_0 = \frac{1}{4\pi\epsilon_0 D} \int \frac{\sigma(\mathbf{r})}{|\mathbf{r} - \mathbf{r}_0|} d\mathbf{r}, \quad \mathbf{r} = \{x, y, z\},$$

$$\mathbf{r}_0 = \{x_0, y_0, z_0\}, \quad \mathbf{r}, \mathbf{r}_0 \in D. \quad (1)$$

Принятые обозначения соответствуют [1].

Перепишем уравнение (1) в цилиндрических координатах и учтем, что уравнение должно быть записано для поверхности электрода $z=0$ (2) из [1].

Основная идея использования собственных функций заключается в сведении двумерного интегрального уравнения к системе одномерных уравнений. Это возможно, если искать решения $\sigma=(\rho, \theta)$ и $U=(\rho, \theta)$ в виде суммы факторизованных слагаемых, азимутальная составляющая которых будет иметь экспоненциальный вид:

$$\sigma(\rho, \theta) = \sum_{n,m} C_{n,m} R_n^m(\rho) e^{j\theta m},$$

$$U(\rho, \theta) = \sum_{n,m} A_{n,m} R_n^m(\rho) e^{j\theta m}.$$

где $C_{n,m}$ и $A_{n,m}$ – коэффициенты разложения рядов $\sigma=(\rho, \theta)$ и $U=(\rho, \theta)$ соответственно, $R_n^m(\rho)$ – радиальная составляющая.

Очевидно, что в этом случае можно использовать линейную независимость гармонических функций $e^{j\theta m}$ и записать выражения искомой и известной функций для каждой гармоники в виде:

$$\sigma_m(\rho) = \sum_n c_n R_n^m(\rho), U_m(\rho) = \sum_n a_n R_n^m(\rho), m = 1, 2, \dots$$

И, если функции разложения являются собственными, то соотношения между коэффициентами имеют простой вид: $c_n = a_n / \lambda_{n,m}$, т. е.

$$\sigma_m(\rho) = \sum_n \frac{a_n}{\lambda_{n,m}} R_n^m(\rho), U_m(\rho) = \sum_n a_n R_n^m(\rho),$$

где $\lambda_{n,m}$ – собственные числа.

Таким образом, если найти коэффициенты разложения известной функции $U(\rho)$ в собственном базисе системы, то легко определить коэффициенты разложения неизвестной функции $\sigma(\rho)$ распределения зарядов. Предлагаемый алгоритм позволяет находить решение уравнения (1) в виде разложения по собственным функциям интегрального оператора Фредгольма. Такой подход позволяет свести решение интегрального уравнения к решению системы линейных алгебраических уравнений. Алгоритм позволяет учитывать особенности решения некорректной обратной задачи в виде оптимального селективного гашения высокочастотных компонент разложения.

Первый этап алгоритма заключается в поиске собственных функций и собственных чисел двумерного интегрального уравнения (1).

$$\int \frac{\Psi(\rho') d^2 \rho'}{|\rho - \rho'|} = \lambda \Psi(\rho), \quad (2)$$

где $\Psi(\rho)$ – собственные функции, λ – собственные числа.

Второй этап алгоритма заключается в представлении искомого решения $\sigma(\rho)$ и потенциала результирующего поля $U(\rho)$ в виде разложения в ряд по собственным функциям:

$$\sigma(\rho) = \sum_n c_n \Psi_n(\rho), U(\rho) = \sum_n a_n \Psi_n(\rho). \quad (3)$$

Третьим этапом определяются коэффициенты разложения a_n обобщенного ряда Фурье известной функции $U(\rho)$. Представления функций $\sigma(\rho)$ и

$U(\rho)$ в виде рядов (3) подставляются в интегральное уравнение (1), которое редуцируется в алгебраическое, в силу свойств собственных функций (2):

$$\sum_n a_n \Psi_n(\rho) = \sum_n \lambda_n c_n \Psi_n(\rho).$$

В силу линейной независимости собственных функций получаем $c_n = a_n / \lambda_n$. Таким образом, получаем искомое решение в виде разложения по собственным функциям

$$\sigma(\rho) = \sum_n \frac{a_n}{\lambda_n} \Psi(\rho).$$

Так как решаемая задача является некорректной и обратной, необходимо учитывать высокую чувствительность решения $\sigma(\rho)$ к шумам в исходных данных $U(\rho)$ [3–5]. Для этого пролонгируем коэффициенты разложения решения в комплексную плоскость, осуществляя слабый спектральный сдвиг

$$\sigma(\rho) = \sum_n \frac{a_n}{\lambda_n + i\varepsilon} \Psi_n(\rho),$$

где ε – бесконечно малая величина, i – мнимая единица.

Четвертый этап алгоритма заключается в фильтрации полученного решения в силу неизбежного наличия шумов в найденных коэффициентах разложения. На этом этапе производится гашение высокочастотных составляющих на основе использования сглаживающего функционала А.Н. Тихонова [5].

Задача нахождения таких собственных функций $\Psi_n(\rho)$ сводится к решению интегрального уравнения Фредгольма второго рода

$$\Psi_k(\rho) \lambda_k = \int K(\rho, \rho') \Psi_k(\rho') d^2 \rho', \quad (4)$$

здесь $K(\rho, \rho')$ – ядро интегрального уравнения, $\Psi_k(\rho)$, λ_k – собственные функции и собственные значения интегрального уравнения (4), соответственно,

Решение интегрального уравнения (4) будем искать в факторизованном виде:

$$\Psi(\rho) = R(\rho) \Theta(\theta). \quad (5)$$

Прежде всего определим вид азимутальной функции $\Theta(\theta)$. Отметим, что функция $\Theta(\theta)$ должна быть непрерывной и периодической функцией угла θ с периодом 2π . Подставляя решение (5) в уравнение (4), получим

$$\int_0^{2\pi} \int_0^R K(\rho, \theta, \rho', \theta') R(\rho) \Theta(\theta) \rho d\rho d\theta = \lambda R(\rho) \Theta(\theta).$$

Произведем следующую замену переменных: $\zeta = \theta' - \theta$, $d\zeta = d\theta'$, $\theta' = \zeta + \theta$, тогда

$$\int_0^{2\pi} \int_0^R K(\rho, \rho', \zeta) R(\rho') \Theta(\zeta + \theta) \rho d\rho d\zeta = \lambda R(\rho) \Theta(\theta). \quad (6)$$

Из уравнения (6), в силу непрерывности, периодичности и единственности решения, следует, что $\Theta(\zeta + \theta) = \Theta(\zeta) \Theta(\theta)$. Общее решение этого ура-

внения, имеющее период 2π , хорошо известно и имеет вид $\exp(im\theta)$. Следовательно, функция $\Theta(\theta)$ записывается следующим образом:

$$\Theta(\theta) = \exp(im\theta). \quad (7)$$

Для определения радиальной матрицы перехода подставим выражение (7) в (6) и, после преобразований, получаем однородное интегральное уравнение Фредгольма второго рода:

$$\int_0^R \rho d\rho R(\rho) \int_0^{2\pi} d\zeta \exp(im\zeta) K(\rho, \rho', \zeta) = \lambda R(\rho). \quad (8)$$

Введем обозначение:

$$K_m(\rho, \rho') = \int_0^{2\pi} d\zeta \exp(im\zeta) K(\rho, \rho', \zeta).$$

Выражение (8) сводится к:

$$\int_0^R \rho d\rho R^m(\rho) K_m(\rho, \rho') = \lambda R^m(\rho). \quad (9)$$

Для выражения (9) было рассчитано ядро при различных азимутальных составляющих $m=0, 1, 2, \dots$. Пространственное изображение полученных собственных функций приведено на рис. 1.

В выражении (9) введем обозначение

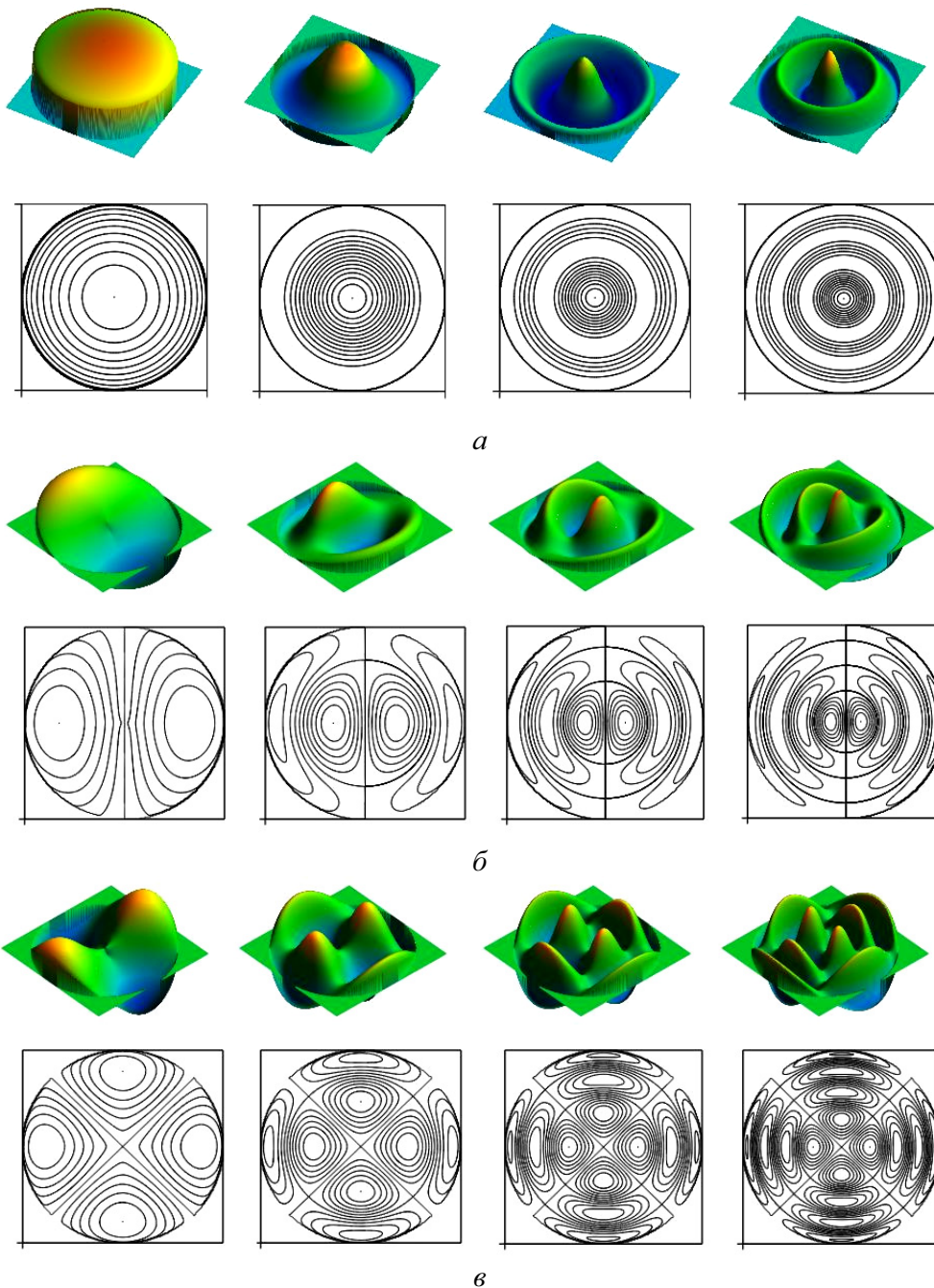


Рис. 1. Контурные линии и изометрическое изображение первых четырех собственных функций при: а) $m=0$; б) $m=1$; в) $m=2$

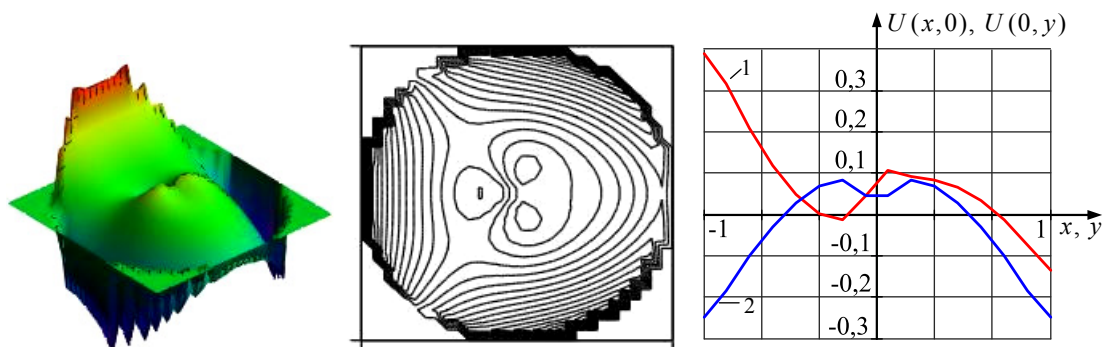


Рис. 2. Пространственное распределение, изолинии и профили потенциальной функции $U(x,y)$ по осям: 1) x ; 2) y

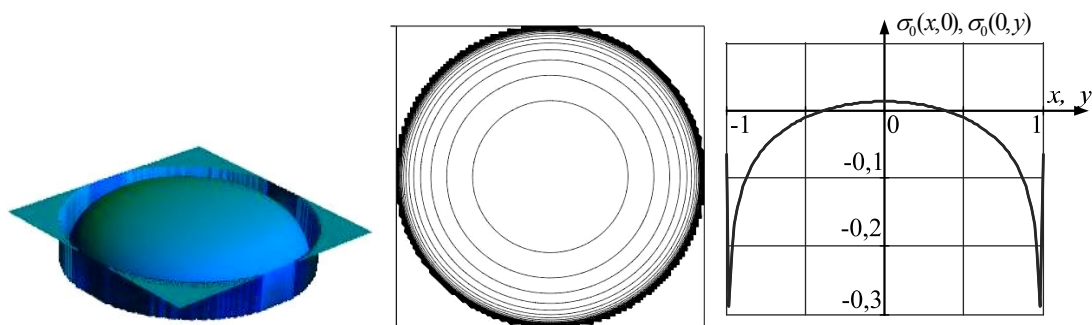


Рис. 3. Пространственное распределение, изолинии и профили $s_0(x,0), s_0(0,y)$ распределения зарядов $s_0(x,y)$

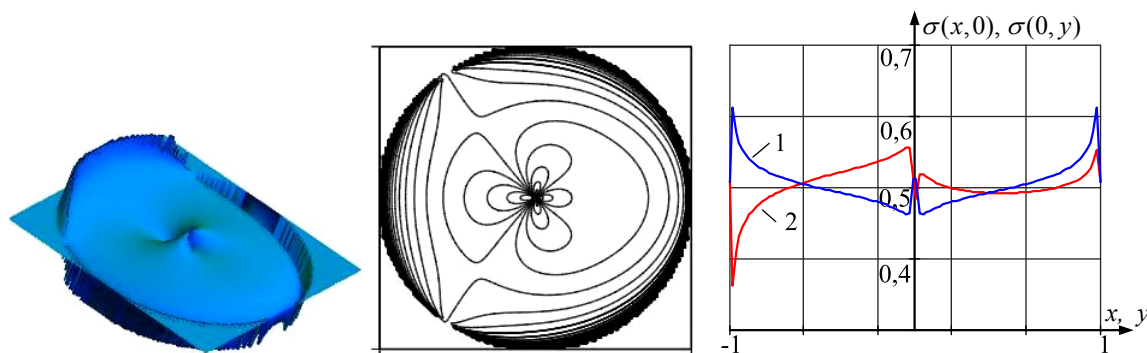


Рис. 4. Пространственное распределение, изолинии и профили распределения зарядов $s(x,y)$ по осям: 1) x ; 2) y

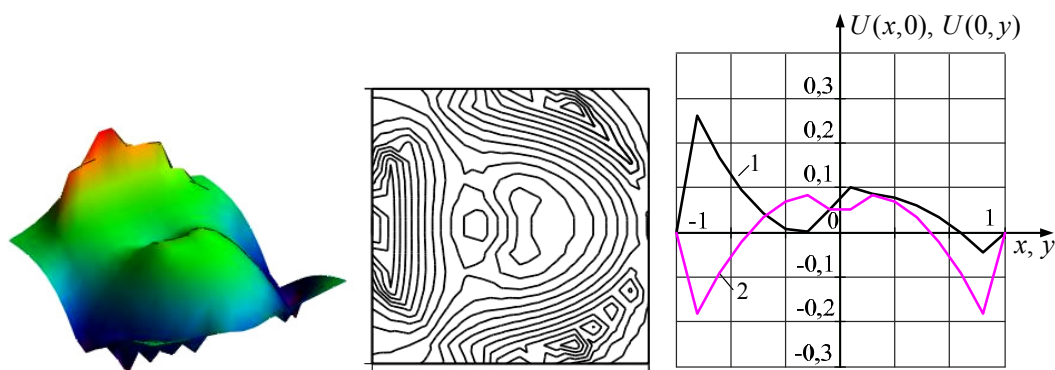


Рис. 5. Пространственное распределение, изолинии и профили потенциальной функции $U(x,y)$ по осям: 1) x ; 2) y

$$T^m(\rho, \rho') = K_m(\rho, \rho') \rho d\rho.$$

$$T_{ij}^m = k_{ij}^m \rho_i \Delta\rho, i, j = 0 \dots N, \Delta\rho = \frac{R}{N}, \rho_i - \text{вес.}$$

Матрицы T^m не симметричны и имеют N различных собственных значений $\lambda_j^m, j=0,1,2,\dots,N$.

Они имеют N соответствующих линейно независимых собственных векторов, удовлетворяющих условию [6]:

$$T^m \Psi_j^m(\rho) = \lambda_j^m \Psi_j^m(\rho),$$

где $Y^m(\rho) = [\Psi_0^m(\rho), \Psi_1^m(\rho), \Psi_2^m(\rho), \dots, \Psi_N^m(\rho)]^T$.

Для определения коэффициентов разложения необходимо использовать собственные функции $\Phi_j^m(\rho)$ транспонированной матрицы $[T^m]^T$

$$(T^m)^T \Phi_j^m(\rho) = \lambda_j^m \Phi_j^m(\rho),$$

где $\Phi^m(\rho) = [\Phi_0^m(\rho), \Phi_1^m(\rho), \Phi_2^m(\rho), \dots, \Phi_N^m(\rho)]^T$.

Известно [6], что собственные векторы матриц T^m и $[T^m]^T$, соответствующие различным собственным значениям, ортогональны и для них справедливы условия:

$$\int_0^R \rho d\rho \Phi_j^m(\rho) \Psi_i^m(\rho) = \delta_{ij} N r_i^m, \quad j = 0, 1, 2, \dots, N,$$

где $\delta_{ij} = \begin{cases} 1, & i = j \\ 0, & i \neq j \end{cases}$, $N r_i^m$ – условия нормировки.

Продемонстрируем работу алгоритма на нескольких азимутальных зависимостях и покажем совпадение результатов расчета по выше описанному алгоритму с непосредственным вычислением интеграла Фредгольма (1).

Определим распределение зарядов при произвольном несимметричном распределении потенциала. Представим модельное распределение потенциала в виде ряда по радиальным и азимутальным компонентам:

$$U(\rho, \theta) = 0,1 - 0,2\rho^2 - 0,5\rho^2 \cos \theta + 0,5\rho \cos 2\theta.$$

Рассматривать данное распределение потенциала будем как сумму трех составляющих при различных значениях азимутального индекса m . В нашем случае $m=0, 1, 2$.

При $m=0$ составляющая распределения потенциала имеет вид $U_0(\rho) = 0,1 - 0,2\rho^2$, при $m=1$ $U_1(\rho, \theta) = -0,5\rho^2 \cos \theta$, при $m=2$ $U_2(\rho, \theta) = 0,5\rho \cos 2\theta$.

Модельное распределение потенциала $U(\rho, \theta)$, являющееся суммой всех выше перечисленных составляющих, представлено на рис. 2.

Для полиномов соответствующей степени ρ^k , $k=0, 1, 2, \dots$ при различных азимутальных составляющих определяем матрицы коэффициентов разложения функции $U(\rho, \theta)$, используя (3).

Для $m=0$ и $k=0$ составляющая распределения потенциала $U_0(\rho) = 0,1 = \sum_n A_n^0 \Phi_n^0(\rho)$. Умножим правую и левую часть равенства на $\Psi^0(\rho)$:

$$\int_0^R \rho d\rho \Psi_k^0(\rho) U_0 = \sum_n A_n^0 \int_0^R \rho d\rho \Psi_k^0(\rho) \Phi_n^0(\rho).$$

Учитывая условия ортогональности, получаем:

$$\int_0^R \rho d\rho \Psi_k^0(\rho) U_0 = \sum_n A_n^0 N r_n^m.$$

Отсюда определяем коэффициенты A_n^0 , используя выражение

$$A_n^0 = \frac{1}{\|N r\|} \int_0^R U(\rho) \Psi_n(\rho) \rho d\rho.$$

Используя (3), определяем коэффициенты разложения распределения зарядов

$$C^0 = \frac{A^0}{\lambda^0}.$$

Распределение зарядов определим как

$$\sigma_0(\rho) = \sum_{n=0}^N \Phi_n^0(\rho) C^0.$$

Определение коэффициентов C^0 является обратной некорректной задачей, поэтому необходимо осуществлять регуляризацию решения с помощью сглаживающего функционала А.Н. Тихонова.

Аналогично определяем коэффициенты разложения $\sigma(\rho, \theta)$ при $m=0$ для полинома второй степени $U_0(\rho) = -0,2\rho^2$.

Результирующее распределение зарядов для нулевой азимутальной составляющей изображено на рис. 3.

Аналогично были рассмотрены составляющие распределения потенциала при $m=1$ и $m=2$.

На рис. 4 представлено пространственное распределение зарядов, соответствующее модельному распределению потенциала.

Критерием правильности расчетов является непосредственное вычисление интеграла (2). В качестве подынтегральной функции $\sigma(\rho', \theta)$ подставляем полученное распределение зарядов. В результате получаем распределение потенциала, представленное на рис. 5, которое совпадает с модельным распределением потенциала, рис. 6. Данный пример наглядно демонстрирует эффективность работы алгоритма. Переход от интегральных уравнений к системе алгебраических уравнений существенно упрощает решение и требует меньших временных затрат.

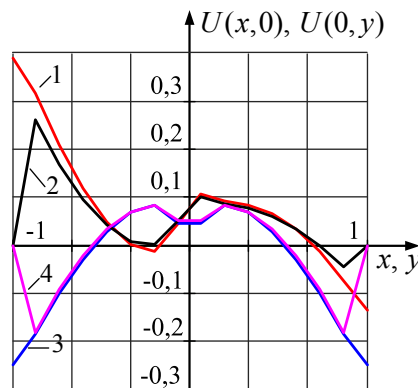


Рис. 6. Профили потенциальной модельной функции $U(x, y)$ и восстановленного распределения потенциала соответственно по осям: 1, 2) x ; 3, 4) y

Описанный алгоритм, позволяет синтезировать оптимальный базис разложения, являющийся наилучшим для интегрального уравнения томографии обратного проецирования – двумерного уравнения Фредгольма. Полученные собственные функции являются наилучшим, по сравнению с любым другим, разложением в смысле минимизации размер-

ности пространства разложения. При синтезе оптимального базиса были учтены особенности решения некорректных обратных задач. Преимущество алгоритма заключается в том, что сначала вычисляются коэффициенты разложения известной функции $U(\rho, \theta)$, а затем найденные коэффициенты делятся на соответствующие собственные чи-

сла. В результате получаются коэффициенты разложения искомой функции распределение зарядов $\sigma(\rho, \theta)$. При необходимости получить единичное распределение зарядов $\sigma(\rho, \theta)=1$ достаточно представить разложение потенциальной функции $U(\rho, \theta)$ в виде суммы собственных функций с единичными коэффициентами разложения.

СПИСОК ЛИТЕРАТУРЫ

1. Исаев Ю.Н., Кулешова Е.О., Васильева О.В., Русол Д.А. Расчет распределения зарядов пластин при наличии внешнего несимметричного поля // Известия Томского политехнического университета. – 2008. – Т. 312. – № 4. – С. 70–75.
2. Миролобов Н.Н., Костенко М.В., Левинштейн М.Л., Тиходев Н.Н. Методы расчета электростатических полей. – М.: Высшая школа, 1963. – 415 с.
3. Тихонов А.Н., Арсенин В.Я., Тимонов А.А. Математические методы компьютерной томографии. – М.: Наука, 1985. – 160 с.
4. Преображенский Н.Г., Пикалов В.В. Неустойчивые задачи диагностики плазмы. – Новосибирск: Наука, 1982. – 238 с.
5. Тихонов А.Н., Арсенин В.Я. Методы решения некорректно поставленных задач. – М.: Наука, 1986. – 286 с.
6. Баринов В.А., Совалов С.А. Режимы энергосистем: методы анализа и управления. – М.: Энергоатомиздат, 1990. – 440 с.

Поступила 05.05.2008 г.

УДК 621.311.001

ЗАКОНОМЕРНОСТИ ФОРМИРОВАНИЯ СПЕКТРОВ И СТРУКТУР СОБСТВЕННЫХ ЭЛЕКТРОМЕХАНИЧЕСКИХ КОЛЕБАНИЙ

С.В. Шиловский

Институт автоматизации энергетических систем, г. Новосибирск
E-mail: shi@iaes.ru

Предлагается решение системы дифференциальных уравнений электромеханических движений в виде гармонической функции. Рассматриваются вопросы определения закономерностей формирования спектров и структур собственных электромеханических колебаний. Исследуются оценки гармонического состава электромеханических колебаний. Обосновывается применение частот собственных колебаний в качестве показателей для оценки удаленности режима от предельного по устойчивости.

Введение

Анализ условий обеспечения статической и динамической устойчивости, электромеханических переходных процессов при научных исследованиях, в практике проектирования и эксплуатации имеет своей целью найти упрощенное с точки зрения устойчивости описание энергообъединения, обнаружить некоторые достаточно простые свойства объединенной электроэнергетической системы. В основе таких упрощенных представлений всегда лежит некоторое отображение системы в рассматриваемой области ее функционирования [1].

Объективный анализ устойчивости объединения целесообразно проводить с помощью процедур исследования, основанных на численной оценке ее системных свойств. В основе этих процедур предлагается учитывать реакцию системы на возмущения. Тогда объединение в своем движении должно проявлять свои динамические свойства [2–6].

В основе электромеханических переходных процессов энергообъединений лежат свободные колебательные движения синхронных машин.

Свободное движение, совершаемое под действием только внутренних сил, комплексно отражает и проявляет динамические свойства системы. Выявить их можно на основе исследования линеаризованных математических моделей. Качественно рассмотрение динамических свойств энергосистем базируется на предельно простой математической модели. Она ориентирована на описание процессов в системах, составленных из большого количества дискретных, упруго связанных между собой колеблющихся сосредоточенных элементов, в которых распределена вся инерционная масса системы. В качестве последних выступают синхронные машины [1].

В основу анализа устойчивости естественно положить изучение реакции системы на возмущения в виде гармонических колебаний с частотами, соответствующими собственным частотам электромеханической системы, а динамические свойства целесообразно исследовать для представительного набора собственных частот, оценивая гармонический состав электромеханических колебаний и используя частоты собственных колебаний для числовых оценок удаленности режима от предельного.